

## 鋼纖維補強コンクリートの乾燥収縮に関する研究(2)

## 一拘束条件下における収縮性状—

## Study on Drying Shrinkage of Steel Fiber Reinforced Concrete (2)

小林一輔\*・魚本健人\*・峰松敏和\*\*

Kazusuke KOBAYASHI, Taketo UOMOTO and Toshikazu MINEMATSU

1 はしがき

2 實驗結果

コンクリートは引張強度が小さいため、その乾燥による収縮が何らかの形で拘束された場合ひびわれが発生しやすい。

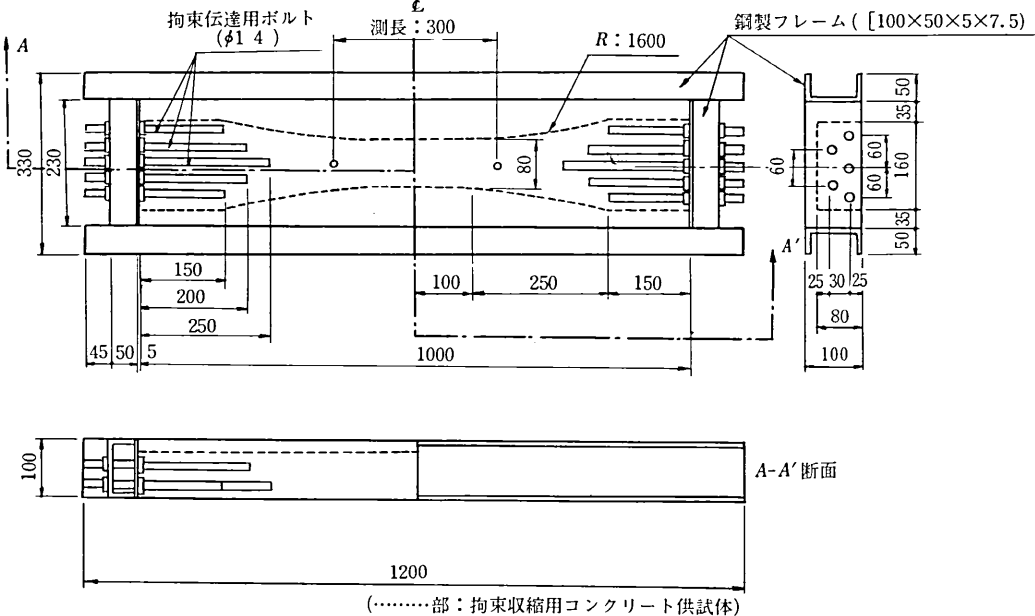
本文は、コンクリートの乾燥収縮によるひびわれ抑制に対する鋼纖維混入の効果を明らかにするために実施した一連の研究の一部であって、前報<sup>1)</sup>では、主として自由収縮の場合について検討を行ったが、本文では乾燥収縮が拘束された場合（ここでは拘束収縮と呼ぶ）についての実験結果を示した。

なお、前報においてコンクリートの乾燥収縮に対し、鋼纖維と膨張性混和材の併用が非常に有効であることが立証されたので、本文では、鋼纖維補強コンクリート中に膨張性混和材を添加した場合についても検討を行った。

図・1に示すように端部を拘束した供試体を用いて、拘束条件下における乾燥収縮とひびわれ発生時期におよぼす鋼織維並びに膨張材添加の効果を調べた。なお、比較検討のため自由収縮も測定した。

実験は水セメント比53%, 細骨材率60%, 粗骨材最大寸法10mmの基準コンクリートを用い, 普通コンクリート, 繊維混入率1.0%と2.0%の鋼纖維補強コンクリート, 膨張材添加量 $26\text{ kg/m}^3$ (混和率: 6%)と $47\text{ kg/m}^3$ (混和率: 11%)の膨張コンクリートおよび継維混入率1.0%の鋼纖維補強コンクリート中にそれぞれ膨張材を $26\text{ kg/m}^3$ と $47\text{ kg/m}^3$ 添加したコンクリートの計7種類について検討した.

拘束収縮測定用の供試体は、コンクリートの乾燥収縮



図・1 拘束収縮測定用供試体の形状寸法（単位：mm）

\* 東京大学生産技術研究所 第5部

\* \* 日本大学大学院生産工学研究科

## 研究速報

をボルト( $\phi 14\text{ mm}$ )を介して $100 \times 50 \times 5 \times 7.5\text{ mm}$ の溝型鋼を用いて組み立てられたフレームに伝達して拘束するものである。拘束収縮歪の測定は供試体中央部(断面寸法 $8 \times 8\text{ cm}$ )に設けた測長 $30\text{ cm}$ の区間でコンタクトゲージを用いて実施した。

この拘束供試体の拘束力を拘束係数 $K$ として次式を用いて算出するとすべて $71\sim74\%$ となる。

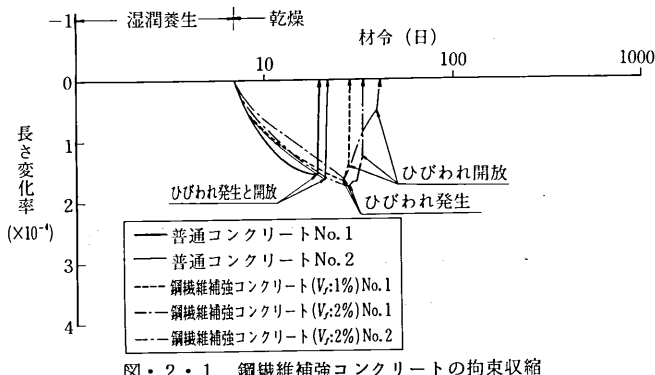
$$K = 1 / (1 + A_c E_c / A_s E_s) \quad (\text{式} \cdot 1)$$

ここで、 $A_c, A_s$ : コンクリートおよび鋼材の断面積

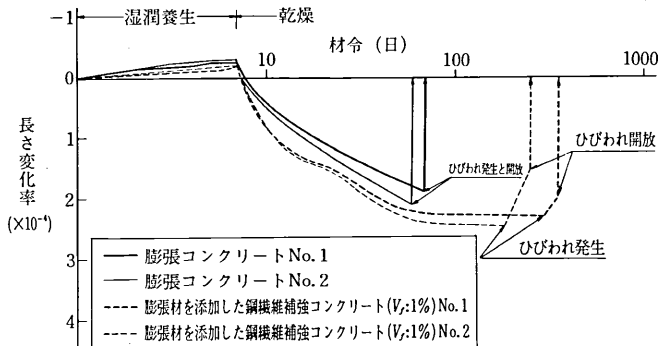
$E_c, E_s$ : コンクリートおよび鋼材のヤング率  
また、自由収縮測定用の供試体は、拘束収縮測定用の供試体の中央部断面積と同一の断面積を有する $8 \times 8 \times 40\text{ cm}$ のものを用い、測長は拘束収縮の場合と同様に $30\text{ cm}$ とした。

供試体はすべてコンクリート打設後1日で脱型して直ちに基長を測定し、材令1週まで湿潤養生を行った後、恒温恒湿室( $20 \pm 1^\circ\text{C}, 50 \pm 5\% \text{ R.H.}$ )に設置した。

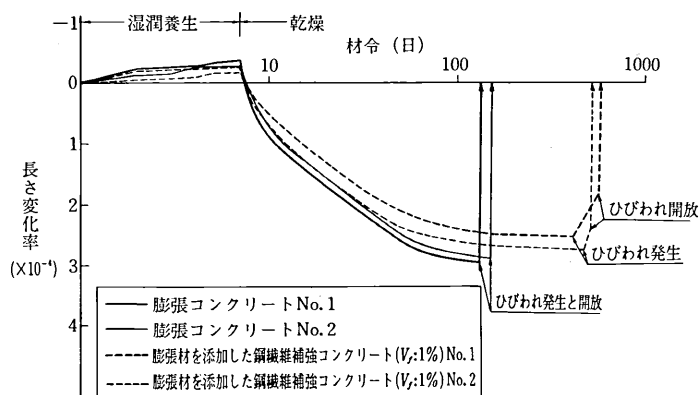
なお、引張強度試験用供試体も同時に作製し、拘束収



図・2・1 鋼纖維補強コンクリートの拘束収縮



図・2・2 膨張材を添加した鋼纖維補強コンクリートの拘束収縮 (膨張材添加量:  $26\text{ kg}/\text{m}^3$ )



図・2・3 膨張材を添加した鋼纖維補強コンクリートの拘束収縮 (膨張材添加量:  $47\text{ kg}/\text{m}^3$ )

## 研究速報

縮測定用の供試体にひびわが発生した時点における引張強度と引張ヤング率を求めた。

## 3. 実験結果と考察

図・2・1～図・2・3は拘束収縮の実験結果を示したものである。また、図・3および図・4は図・2の結果をまとめて表示したものであって、これらの図から、

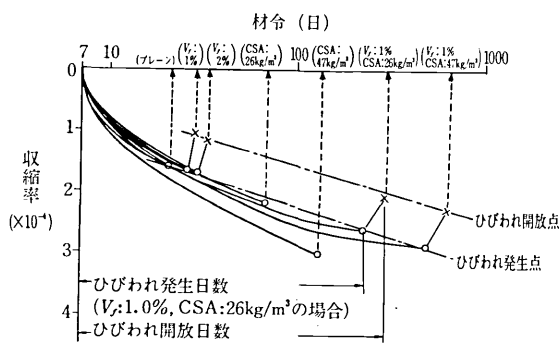
- 1) ひびわが発生するまでの日数は鋼纖維の混入によって増大するが、その効果は膨張材と併用することによって大幅に増幅されること
  - 2) 鋼纖維を混入した場合にはひびわが発生してから、これが開放されて無応力状態となるまでに要する期間を要し、この期間は纖維混入率と膨張材の添加量が増加するほど増大すること
  - 3) 拘束収縮の経時変化はおのおの鋼纖維、膨張材の有無にかかわらずほぼ同一曲線によって表すことができるので、ひびわ発生時の拘束収縮率は纖維混入率と膨張材の添加量を増すほど大きくなること
- などがわかる。

一般に鋼纖維補強コンクリートでは一旦ひびわが発生しても鋼纖維のブリッジ作用によりひびわの拡大は除々に進行するが、今回の拘束収縮試験でもこの傾向はひびわ発生日数とひびわ開放日数の差として明確に認められた。(図・4参照)

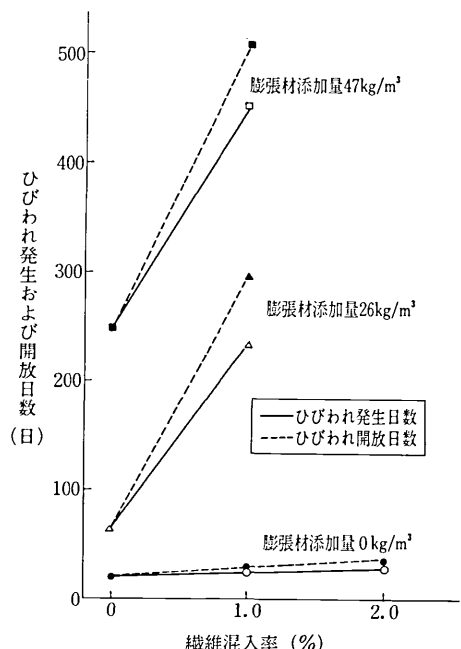
また、このような鋼纖維のひびわ拘束効果は膨張材と併用した場合に顕著であって、たとえば、図・5に示したひびわ発生後のひびわ幅の変化の図より、ひびわ幅が0.2 mmまで拡大するのに要する日数は纖維混入率1.0%の鋼纖維補強コンクリートで15日であるが、これに膨張材を 26 kg/m<sup>3</sup> 混入すると40日となり、47 kg/m<sup>3</sup> 混入すると100日となる。また纖維混入率2.0%の鋼纖維補強コンクリートでは約80日となり、纖維混入率1.0%で膨張材を 40 kg/m<sup>3</sup> 程度併用した場合とはほぼ同程度のひびわ拘束効果となる。

図・6は、本実験中の普通コンクリート、鋼纖維補強コンクリート(纖維混入率1.0%)、膨張コンクリート(膨張材添加量47 kg/m<sup>3</sup>)、膨張材を添加した鋼纖維補強コンクリート(纖維混入率1.0%，膨張材添加量47 kg/m<sup>3</sup>)について拘束収縮と自由収縮の関係を示したものである。また同時に式・1より求めた拘束係数も示した。

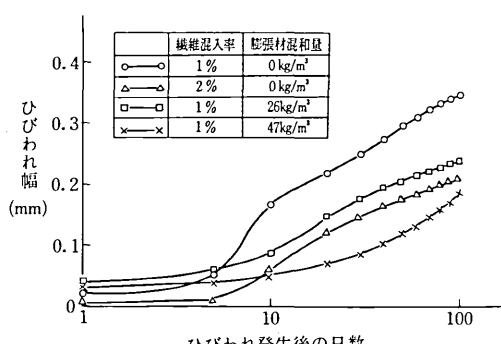
この図より、拘束収縮と自由収縮の関係は各コンクリートともほぼ同様な傾向を示し、収縮量が小さい場合は拘束係数Kとほぼ一致しているが、収縮量が大きくなるに従って拘束係数Kとの差が大きくなることがわかる。これは、収縮応力に起因するクリープの影響によるものと思われる。



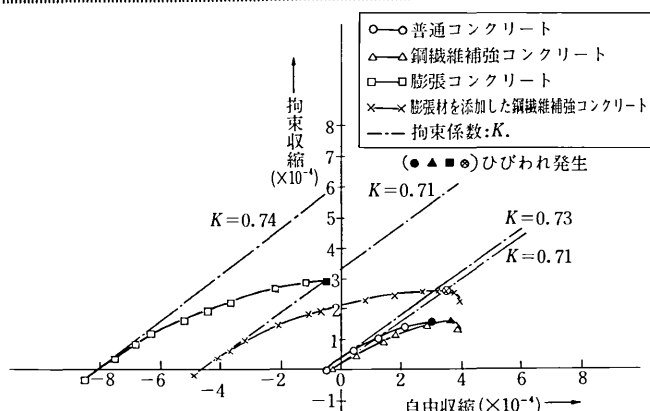
図・3 鋼纖維補強コンクリートの拘束収縮性状  
(供試体2本の平均性状)



図・4 繊維混入率とひびわ発生日数の関係



図・5 鋼纖維補強コンクリートのひびわ拘束効果



図・6 同一材令時における拘束収縮と自由収縮および拘束係数の関係

## 4. まとめ

本実験の結果より、拘束条件下におけるコンクリートの乾燥収縮ひびわれの発生やひびわれ幅の低減に対して鋼纖維補強コンクリートに膨張材を併用すると極めて効果的であることが確かめられた。

これは、鋼纖維による拘束効果や膨張材によるケミカルプレストレスの他にコンクリートマトリックスの膨張を鋼纖維によって三次元的に拘束する微視的なケミカルプレストレスが働くためと考えられる。

(1979年9月11日)

## 参考文献

- 1) 小林一輔, 魚本健人, 峰松敏和: 鋼纖維補強コンクリートの乾燥収縮に関する研究(1), 生産研究 vol. 30, № 7 (1978. 7)
- 2) S Fujimatu: On a Cracking Test Piece of Concrete, Proc. 5th Jap. Cong. Test Mat. (1963)
- 3) 狩野春一, 仕入豊和: コンクリートの収縮拘束キレツ発生試験装置に関する研究, 日本建築学会論文報告集 № 66 (1960. 10)

## 東京大学生産技術研究所報告刊行

第27巻 第9号 (英文)

福田 敏男・柴田 碧

**Malfunction Diagnosis and Applications of Stable Adaptive Schemes  
for a Nuclear Reactor System**

原子炉システムの異常診断と安定な適応則の応用

原子炉システム運転中、異常が発生した際に、その早期異常検出とともに、その場所の推定と制御が被害を防止、もしくは最小限にする上で重要である。ここでは、原子炉の一次元スラブモデルを対象として異常検出と異常発生箇所の推定、さらに、一点炉モデル、ゆるく結合した結合炉モデル、二種類のフィードバックを受ける系、炉心内の熱流体チャネルを対象としたモデル規範型適応パラメータ同定と制御について述べる。

異常検出は、中性子束、温度、流量等の原子炉システムの状態測定データに因子分析手法を用いて、各因子の寄与率の比の自乗和を異常評価指標として定義し、この指標が前もって与えた閾値を超えた場合、原子炉システムに異常が発生していると判定する。さらに、カルマンフィルターによる最適推定方法と確率近似法を用いて、原子炉システムの異常時における中性子束分布を推定し、異常時と正常時の中性子束分布の差の自乗より炉心内の異常発生箇所の推定ができる事を示した。

一点炉、ゆるく結合した結合炉モデル、二種類のフィードバックを受ける系、熱流体チャネルは、その動特性方程式が双線形であり、内部フィードバックがある場合は非線形となる。この場合のシステム動特性方程式を非最小実現表現で示し、この新しい表現を用いて、安定なパラメータ同定と制御法をモデル規範型適応システムにより導いた。これらはリヤブノフ関数が存在し安定であることを示し、さらに、入力が十分広帯域であれば、大域的に安定であることを示した。パラメータ同定において、モデルのパラメータは、プラントのパラメータに収束し、他方、適応制御においては、制御入力を介してプラントのパラメータがモデルのパラメータに収束する様補償することができる事を示した。

さらに、簡略化した熱流体チャネルを用いて、上記パラメータ同定アルゴリズムを用いた実験を行い良好な結果を得て、ここで提案するアルゴリズムの有効性を示した。

(1979年11月発行)